



**SUYA DOYGUN KUMLARIN DRENAJSIZ KOŞULLARDAKİ
DAVRANIŞININ TEKRARLI YÜKLER ALTINDA BURULMALI
KESME DENEY ALETİ İLE İNCELENMESİ**

**(THE INVESTIGATION OF UNDRAINED CYCLIC BEHAVIOR OF
SATURATED SAND IN HOLLOW TORSIONAL SHEAR APPARATUS)**

Selim ALTUN*

ÖZET/ABSTRACT

Son yıllarda meydana gelen özellikle Kocaeli 1999, Kobe 1995 ve daha birçok büyük depremde kum zeminlerde (ve hatta siltli kum veya kumlu silte) meydana gelen büyük kapsamlı sıvılaşma olayları tekrarlı yüklerin zeminlerde oluşturduğu dinamik etkinin önemini ve boyutunu bir kez daha ortaya koymuştur. Niigata ve Alaska 1964 depremlerinde suya doygun zeminlerde ortaya çıkan büyük şekil değiştirmeler ve göçmeler sonucunda bu zeminlerin drenajsız şartlardaki dinamik davranış özellikleri incelenmeye başlamıştır.

Depremi neden olduğu tekrarlı kayma gerilmelerinin zeminin fiziksel ve mühendislik özelliklerine bağlı olarak zeminlerde oldukça farklı boyutlarda deformasyonlara yol açtığı ve bundan dolayı zeminin kayma mukavemetinin azaldığı, gerilme-deformasyon özelliklerinin değiştiği bilinmektedir. Bu mukavemet kaybı, zemin türü ve özellikleri ile ele alındığında zeminlerin tekrarlı yükler altında oldukça farklı dinamik davranış ve gerilme-şekil değiştirme özellikleri gösterdikleri görülmektedir. Bu yüzden değişik türdeki yüklere maruz olan zeminlerin davranış özellikleri de her bir zemin türünde oldukça farklı tepkilerle ortaya çıkmaktadır. Özellikle suya doygun gevşek kumların gerek hızlı monotonik gerekse tekrarlı yükler altında ortaya koydukları deformasyon yumuşaması ile beraber mukavemetlerini hızla kaybetme özellikleri bu tür zeminleri diğerlerinden oldukça farklı kılmaktadır. Oysa sıkı kumlarda bu özellik gözlenmemektedir. Bu amaçla zeminlerin dinamik gerilme-şekil değiştirme ve mukavemet özelliklerini laboratuvar koşullarında araştırmak için geliştirilen deney aletlerinden birisi de içi boş burulmalı kesme deney aletidir. Bu çalışma kapsamında diğer zemin dinamiği deney aletlerine göre birçok avantaja sahip olan bu aletle, suya doygun kum zeminlerin değişik fiziksel özellikler ve deney koşulları altında mukavemet özelliklerindeki değişimler incelenmiştir.

Recently, strong earthquakes Kocaeli 1999, Kobe 1995 induced a range of liquefaction behaviour in sand (also silty sand or sandy silt) and this event emphasized the importance of dynamic effects of cyclic loading on soil behaviour. The results of serious deformation and failure occurring in saturated sand in Niigata and Alaska (1964) earthquakes, necessitated the investigation the undrained cyclic behaviour of this type of soil.

It is known that cyclic shear stresses induced by earthquake, cause a range of shear strain due to granular and index properties of soil and thus losing shear strength of soil and changing stress-strain behaviour. Considering this decreasing of shear strength and regarding the type and properties of soil, reviewed that soils under cyclic loading show quite different dynamic behaviour and stress-strain properties. Hence, soil behaviour under different type of loading, changes depending on soil type. In particular, saturated loose sands differ from the other type of soils because of losing quickly their shear strength due to strain softening under cyclic or fast monotonic loading. However, dense sands do not behave like this. Hollow cylindrical torsional shear apparatus is one of the test apparatus developed to investigate the stress-strain and strength properties of soils under cyclic stresses in laboratory. In this study, changing in strength properties of saturated sand having different physical characteristics under different test conditions was investigated with a series of torsional shear test.

ANAHTAR KELİMELER / KEYWORDS

Burulmalı deney, Kum, Kayma gerilmesi, Dinamik yükleme
Torsional test, Sand, Shear stress, Dynamic loading

* Ege Üniversitesi, Mühendislik Fak., İnşaat Mühendisliği Bölümü, Bornova, İZMİR

1. GİRİŞ

Depremi neden olduđu tekrarlı kayma gerilmelerinin zeminin fiziksel ve mühendislik özelliklerine bađlı olarak zeminlerde oldukça farklı boyutlarda deformasyonlara yol açtığı ve bundan dolayı zeminin kayma mukavemetinin azaldığı, gerilme - deformasyon özelliklerinin deđiştığı bilinmektedir. Bu mukavemet kaybı, zemin türü ve özellikleri ile ele alındığında zeminlerin tekrarlı yükler altında oldukça farklı dinamik davranış ve gerilme-şekil deđiştirme özellikleri gösterdikleri görülmektedir. Bu yüzden deđişik türdeki yüklere maruz olan zeminlerin davranış özellikleri de her bir zemin türünde oldukça farklı tepkilerle ortaya çıkmaktadır

Özellikle suya doygun gevşek kumların gerek hızlı monotonik gerekse tekrarlı yükler altında ortaya koydukları deformasyon yumuşaması ile beraber mukavemetlerini hızla kaybetme özellikleri bu tür zeminleri diđerlerinden oldukça farklı kılmaktadır. Oysa sıkı kumlarda bu özellik gözlenmemektedir. Asal gerilme eksenlerinin döngüsü, gerilme seviyesi ve gerilme geçmişı gibi zemin ve yükleme özelliklerin etkisi altında olan gevşek kumlarda ortaya çıkan deformasyon yumuşaması ve beraberindeki sıvılaşma olayı geoteknik mühendisliğinin ve zemin dinamiğinin en dikkat çekici konularından birisi olmuştur.

2. SUYA DOYGUN KUMLARIN DİNAMİK DAVRANIŞ ÖZELLİKLERİ

Zeminlerin tekrarlı yükler altında davranışlarını, bir başka ifadeyle dinamik özelliklerini tanımlarken, bunları gerilme-şekil deđiştirme ve mukavemet özellikleri diye iki gruba ayırabiliriz. Gerilme-şekil deđiştirme özellikleri olarak genellikle dinamik kayma modülü ve sönüm oranı deđerlerinin ve bunların birim şekil deđiştirmeye bađlı olarak deđişimlerinin bulunması anlaşılır. Mukavemet özellikleri olarak da göçmeye veya büyük şekil deđiştirmelere neden olan kayma gerilmesi genliđi ve çevrim sayıları kullanılır. Bu iki grup özelliklerin bulunması için çoğunlukla aynı tür deney sistemlerinden faydalanılır.

Bu dinamik zemin özelliklerinin belirlenmesinde kullanılan gerek deneysel, gerek teorik ve model çalışmalarında şekil deđiştirme seviyelerinin farklı oluşu ve zeminlerin bu farklı şekil deđiştirme seviyelerinde deđişik gerilme-şekil deđiştirme davranışı gösterdikleri bilinmektedir. Bundan dolayı bu farklılıklar dikkate alınarak her bir şekil deđiştirme seviyesindeki dinamik davranış özelliklerinin tespitinde elastik, elasto-plastik ve plastik teorilerin ayrı ayrı ele alınması gerekli olmaktadır.

Zeminleri, genel olarak ele alındığı zaman taneli bir yapı göstermelerine rağmen davranışlarındaki farklılıklardan ötürü, ince daneli-kohezyonlu ve kaba daneli-kohezyonsuz zeminler diye iki ana grupta incelemek alışıl gelmiştir. Özellikle tekrarlı yükler altında bu iki grup zemin birbirinden oldukça farklı davranış özellikleri göstermektedir. Bu nedenle zeminlerin dinamik davranış özellikleri incelenirken zemin gruplarını ayrı ayrı deđerlendirip, kendi sınıfları içerisinde ele almak gereklidir.

Zeminlerin tekrarlı yükler altındaki davranış özelliklerini tespit etmek amacıyla yapılan deneysel ve teorik çalışmalarda zeminin cinsi ve fiziksel özelliklerinin yanı sıra yükleme koşullarının da bu özellikler üzerinde oldukça fazla etkisinin olduğu belirlenmiştir. Özellikle suya doygun gevşek kum zeminlerin tekrarlı yükler altında diđer zemin türlerinde rastlanmayan bir davranış özelliđi gösterdiği bilinmektedir. Depremler veya hızlı yüklemeler esnasında zemin içerisindeki suyun drene edilememesi kum zeminlerin mukavemet özelliklerini oldukça etkilemektedir. Bu amaçla suya doygun kumların tekrarlı yükler altındaki dinamik davranış özelliklerini belirlemek amacıyla laboratuvar koşullarında konsolidasyonlu drenajsız dinamik deneyler yapmak uygun olmaktadır.

Suya doygun kumların drenajsız koşullarda tekrarlı veya hızlı monotonik yüklemeler altındaki dinamik davranış özelliklerini belirlemek amacıyla son yıllarda birçok deneysel ve

teorik arařtırmalar yapılmıřtır. Yapılan bu alıřmalar dođrultusunda kumların gerilme–řekil deđiřtirme ve mukavemet zelliklerindeki deđiřimin farklı gerilme seviyelerinde ayrı ayrı ele alınması gerekliliđi de ortaya konmuřtur (Ashour ve Norris, 1999; Erken ve Ansal, 1994; Erten ve Maher, 1995; Konrad, 1990; Meneses-Loja vd., 1998; Mohamad ve Dobry, 1986; Sivathayalan ve Vaid, 1998; Tatsuoka vd, 1989; Verdugo ve Ishihara, 1996; Yoshimine vd., 1999).

Deprem dalgaları gibi tekrarlı ykler altında zemin tabakaları geniř sınırlar ierisinde deđiřen genlik ve frekanslarda tekrarlı kayma gerilmelerinin etkisi altında kalırlar. Bu durumda zemin bořluklarındaki suyun yer deđiřtirebilmesi iin yeterli zaman olmadıđından zemin tabakalarında bořluk suyu basıncı artıřı ve řekil deđiřtirmeler meydana gelir. Tekrarlı ykler altında zemin tabakalarında meydana gelen bu gerilme durumunu ve davranıř biimini laboratuarda inceleyebilmek iin birok deneysel yntem geliřtirilmiřtir (Ansal ve Erken, 1985).

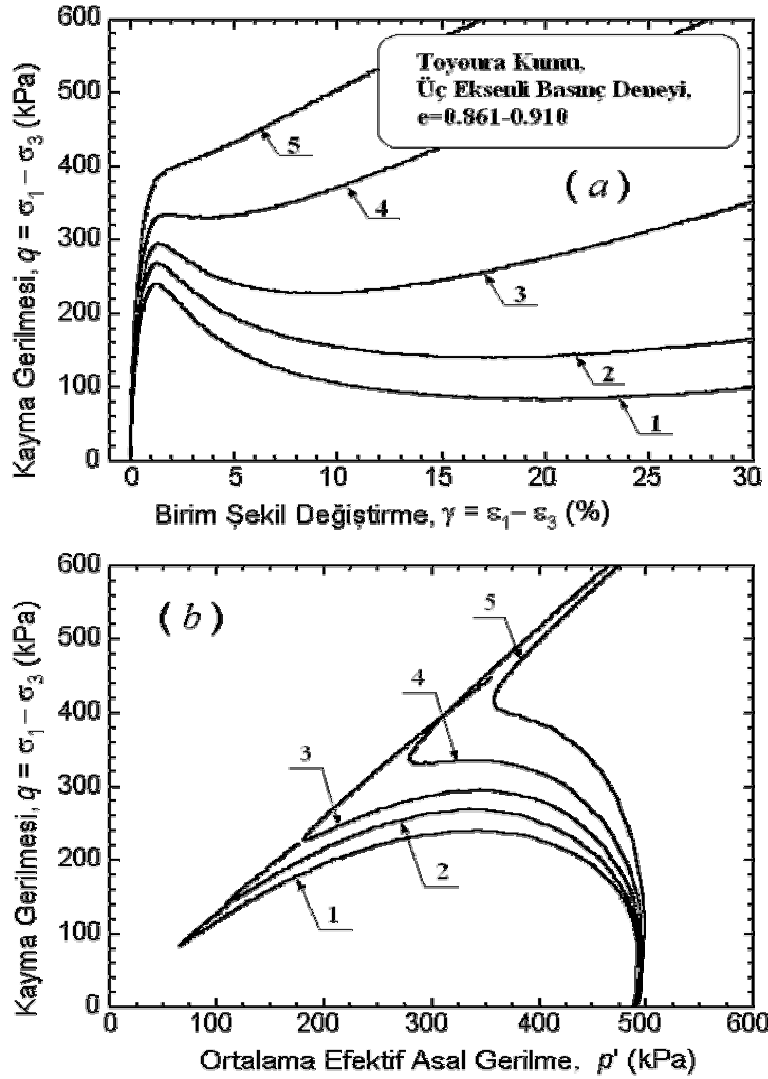
Tekrarlı yklemeler altında suya doygun kumların dinamik davranıř zellikleri ile ilgili yrtlen alıřmalarda, tekrarlı ykler altında kumlarda meydana gelen bu byk řekil deđiřtirmelerin sebebini dinamik yklemenin belli kořul ve ařamalarında zemindeki efektif gerilmenin geici olarak sıfıra dřmesine bađlayarak, bu olguyu sıvılařma olarak tanımlamıřlardır (Seed, 1979; Alarkon-Guzman vd., 1988; Hyodo vd., 1994; Talaganov, 1996). Bununla birlikte zeminlerin dinamik davranıř zelliklerini tam olarak anlayabilmek iin statik ykler altındaki davranıřları ile beraber ele almak ve incelemek dođru bir yaklařım olmaktadır. Bu amala suya doygun kum zeminlerin gerilme–řekil deđiřtirme davranıřlarının kumun fiziksel zelliklerine ve yklemenin trne gre farklılık gsterdiđi, birok arařtırmacı tarafından ortaya konmuřtur.

Buna gre drenajsız kořullarda  eksenli deney sistemiyle belli bir evre gerilmesi altında izotropik olarak konsolide edilmiř, suya doygun kumlarda gerekleřtirilen statik yklemeli deneylerden saptanan zeminin davranıř zellikleri gerilme izleri ile beraber řekil 1’de gsterilmektedir (Verdugo ve Ishihara, 1996). Yapılan deneylerden elde edilen gerilme–řekil deđiřtirme eđrilerindeki davranıř farklılıkları bu deneylerde kullanılan zeminlerin deđiřik rlatif sıklıklara sahip olmalarından kaynaklanmaktadır. Benzer davranıř zellikleri anizotropik gerilme kořullarında yapılan deneylerde de gzlenmiřtir (Vaid ve Chern, 1985).

řekil 1’de 1, 2 ve 3 ile gsterilen zemin trleri zirveye ulařtıktan sonra kayma mukavemetini kaybetmesi ile ortaya ıkan ve deformasyon yumuřaması ile isimlendirilen bir davranıř gstermektedirler. Bu davranıř řekline bzlme denmektedir. Bu tr davranıřlar *sıvılařma* veya *sınırlı sıvılařma* olarak da isimlendirilmiřtir. zellikle 1 ve 2 nolu eđrilerde grldđ gibi kayma mukavemetinin azalmasıyla zemin sabit kayma gerilmesi altında řekil deđiřtirmesini srdrmektedir. Bu safhaya *sabit gerilme durumu deformasyonu* veya *akma deformasyonu* denir.

Bu davranıř zelliklerini yansıtın efektif gerilme izlerine bakıldıđında, zellikle 3 nolu eđrilerdeki keskin dnřle beraber zeminin kayma direnci artmaya, bořluk suyu basıncı azalmaya bařlamaktadır. Bu safhaya *faz dnřm evresi* denilir (Ishihara ve Yasuda, 1975). Faz dnřm evresine ulařıldıđında efektif gerilme izi kırılma zarfına olduka yaklařır.

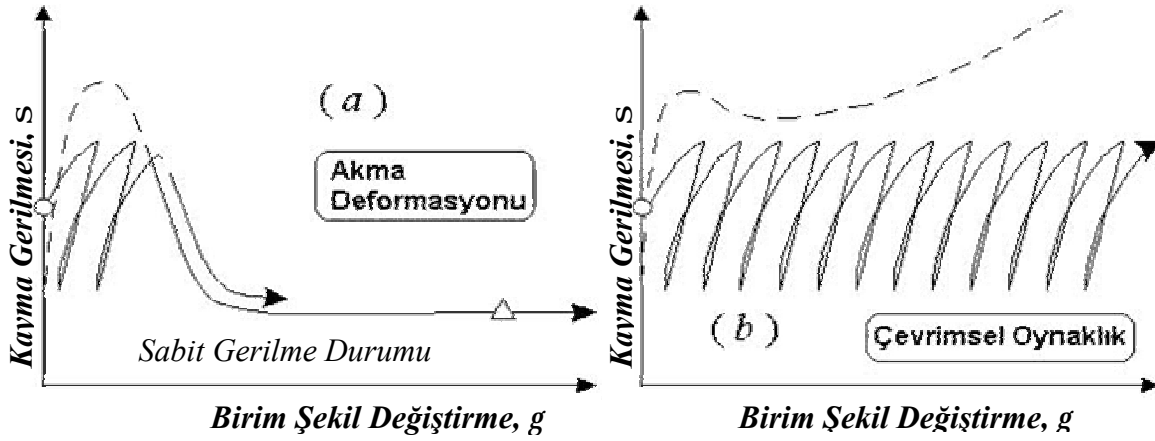
4 ve 5 ile gsterilen eđrilerde ise zemin, deformasyon pekleřmesi ile isimlendirilen bir davranıř zelliđi gsterir. Bu tr davranıřlara da genleřme adı verilir. zellikle 5 nolu eđri ile temsil edilen davranıř trnde bzlme davranıřının aksine kayma mukavemeti azalması grlmemektedir. Bu gerilme–řekil deđiřtirme durumlarını yansıtın gerilme izlerinde nceki durumlarda grlen keskin dnřler tam olarak grlemeyebilir. Sıvılařma olarak isimlendirilen birinci tr deformasyon davranıřından farklı bir geliřim gsteren bu olaya *evrimsel oynaklık* denilmektedir (Vaid ve Chen, 1985).



Şekil 1. Üç eksenli deney sisteminde statik yüklemeler altında zeminde oluşan gerilme-şekil değiştirme davranış özellikleri (Verdugo ve Ishihara, 1996)

Statik yüklenme durumunda kumların gösterdiği bu davranış özellikleri ile beraber deprem gibi dinamik yüklere maruz kumların davranışlarını anlayabilmek için tekrarlı yükler altındaki gerilme-şekil değiştirme ve mukavemet özelliklerinin de ele alınması gerekmektedir. Örneğin yukarıdaki statik yüklemeler altında görülen özelliklere benzeri davranışlar tekrarlı yükler altındaki zeminlerde de görülmektedir (Şekil 2).

Birbirinden farklı bu iki davranış türü (akma deformasyonu ve çevrimsel oynaklık) tekrarlı yüklemeler altındaki zeminlerde ayrı ayrı görülebileceği gibi, oluşan şekil değiştirmeler bu iki türün kombinasyonu da olabilmektedir. Her iki olayın oluşum mekanizmalarının ve bu davranışlara etki eden faktörlerin farklılığı, olaylara karşı alınacak önlemlerin ve hatta kullanılan direnç ifadelerinin dahi farklı olmasını gerektirmektedir (Castro, 1975).



Şekil 2. Tekrarlı yükler altında zeminin ortaya koyduğu farklı davranış özelliklerinin gelişimi

3. DENEY ALETİ, KULLANILAN MALZEME VE DENEY YÖNTEMİ

Bu çalışma kapsamında yapılan deneyler, Ishihara ve Towhata tarafından kullanılan ve İstanbul Teknik Üniversitesi Zemin Mekaniği Laboratuvarı'nda bulunan içi boş silindirik burulmalı kesme deney aletinin yükleme ve veri edinimi yönünden gelişmiş bir modeliyle gerçekleştirilmiştir (Ishihara ve Towhata, 1983). Deney sistemi düşey eksenel kuvvet, F_z , burulma momenti, T , iç hücre basıncı, p_i ve dış hücre basıncı, p_o dış kuvvetlerinin otomatik olarak ölçülüp kaydedilebilmesinin yanı sıra düşey eksenel yer değiştirme, DH , burulma açısı, Dq , iç hücre hacim değişimi, DV_i ve numune hacim değişimi, DV_s 'nin belirlenmesine olanak tanımaktadır. Bu hassas ölçümler numunenin gerilme ve şekil değiştirme büyüklüklerini tam olarak ortaya koymaktadır. Bu gelişmeyle beraber gerilme izlerinin belirlenmesinde daha kesin sonuçlar elde edilebilmektedir.

3.1. İçi Boş Silindirik Numunede Gerilme ve Şekil Değiştirme Bileşenlerinin Hesabı

İçi boş silindirik bir numuneye etki eden dört yüzeysel dış kuvvetin, yani düşey eksenel kuvvet, F_z , burulma momenti, T , iç hücre basıncı, p_i ve dış hücre basıncı, p_o 'ın olduğu söylenebilir. Bu dış kuvvetler numune duvarından alınan bir elemanda S_r , S_q , S_z ve S_{zq} gerilmelerinin oluşmasına neden olurlar. Benzer olarak dört şekil değiştirme bileşeni, numunede oluşan düşey eksenel yer değiştirme, DH , burulma açısı, Dq , iç hücre hacim değişimi, DV_i ve numune hacim değişimi, DV_s 'dir.

İçi boş burulmalı kesme deneyinden elde edilen sonuçların yorumları, tüm numuneyi tam dairesel bir silindirmiş gibi düşünüp, deformasyona uğrayan tek bir elemanmış gibi dikkate alarak yapılır. Silindirin duvarı boyunca farklı yükleme koşullarında gerilmeler değiştiği için, hesaplamaları ortalama gerilme ve şekil değiştirme kavramlarına göre yapmak gerekli olur. Genel olarak gerilmelerin duvar boyunca değişimi 'zeminin bünyesel kuralları'na bağlıdır.

Numune duvarı boyunca gerilme bileşenlerinin en son numune boyutları ve uygulanan yükler cinsinden ortalamalarının hesaplanması ve ifadeleri aşağıda verilmiştir. Bu gerilme bileşenlerinin ortalama değerler olduğu ve bu çalışmadaki bütün gerilmelerin efektif gerilmeleri temsil ettiği her zaman hatırlanmalıdır (Hight vd., 1983). Buna göre ortalama düşey eksenel gerilme

$$s_z = \frac{P}{A_s} + zg' + \Delta s_z \quad (1)$$

olarak hesaplanır. Yukarıdaki formülde P numunenin üst yüzeyine (membran dahil) gelen toplam aksenal yük, A_s numunenin ortalama kesit alanı, z numunenin üst kısmından aşağıya doğru olan mesafe, g' numunenin efektif birim hacim ağırlığı ve Δs_z membran düzeltme kuvvetidir.

Numunenin deney süresince içi boş silindirik yapısını sürdürdüğü kabul edilerek numunenin yükseklikçe orta kısmındaki ortalama aksenal efektif gerilme bileşeni aşağıdaki gibi elde edilir.

$$s_z = \left(F_z + p(p_o r_o^2 - p_i r_i^2) \right) \frac{1}{p(r_o^2 - r_i^2)} + \frac{1}{2} g' \cdot H + \Delta s_z \quad (2)$$

Burada F_z yük hücresi kullanarak ölçülen ve numunenin üst yüzeyindeki gerilme koşullarının üniform olduğu kabul edilerek belirlenen deviatorik aksenal yüküdür (Şekil 1). Düşey aksenal yükün belirlenmesinde kullanılan yük hücresi üç eksenli hücre içerisinde olduğu için yükleme barının alanı hesaplarda dikkate alınmaz. Burada r_i ve r_o ise, hacim değişim değerleri, numunenin düşey deformasyonu ve numunenin iç silindir kısmının hacim değişiminin ölçülmesiyle elde edilen numunenin en son iç ve dış yarıçaplarıdır. H ise numunenin yüksekliğidir.

Ortalama efektif radyal ve çevre gerilmeleri sırasıyla aşağıdaki ifadeler yardımıyla elde edilir.

$$s_r = \frac{p_o r_o + p_i r_i}{r_o + r_i} + \Delta s_r \quad (3)$$

$$s_q = \frac{p_o r_o - p_i r_i}{r_o - r_i} + \Delta s_q \quad (4)$$

Bu ifadeler Hight vd. tarafından lineer elastisite kabulleri ve herhangi bir r yarıçapında, s_q ve s_z arasındaki ilişki kullanılarak türetilmiştir (Hight vd., 1983). Yine Δs_r ve Δs_q elastik ince kabuklar teorisine dayanarak hesaplanan, membranlar için düzeltme kuvvetleridir (Tatsuoka vd., 1986).

Herhangi bir gerilme dağılımı için çevre gerilmesi, aşağıdaki eşitliğin koşullarını sağlamaktadır.

$$T = \int_0^{2\pi} \int_{r_i}^{r_o} [s_{zq}(r) \cdot r] \cdot r dr \cdot dq \quad (5)$$

Bu koşullara dayanarak lineer elastik ve ideal plastik dağılıma uyan ve numune duvarı boyunca sabit olduğu kabul edilen ortalama kayma gerilmesi aşağıdaki gibi elde edilir.

$$s_{zq} = \frac{1}{2} \left\{ \frac{3T}{2p(r_o^3 - r_i^3)} + \frac{T}{p(r_o^2 + r_i^2)(r_o - r_i)} \right\} + \Delta s_{zq} \quad (6)$$

Bu ifadede T burulma momentini ve Δs_{zq} ise membran düzeltme kuvvetlerini temsil etmektedir.

Eşitlik 6'da, denklemin ilk kısmı ideal plastik dağılım kabulüne uymaktadır. İkinci kısım ise lineer elastik izotropik bir malzemeyi temsil etmektedir. Küçük kayma gerilmesi ve deformasyon seviyelerinde lineer elastik dağılım en iyi sonucu verdiği için ifadenin ilk kısmı kullanılması daha uygun olmaktadır. Bununla beraber kırılmaya yakın seviyelerde ideal plastik dağılımın daha uygun olduğu görüldüğünden denklemin ikinci kısmının kullanımı daha doğru olmaktadır. Bu çalışmada, ortalama çevre gerilmesini elde etmek için bu iki çözümün ortalaması olan ve membran düzeltme kuvvetlerini de içeren 6 eşitliği kullanılmıştır.

Ortalama şekil değiştirme bileşenleri, numunenin düzgün silindirik yapısını sürdürdüğü kabulüyle, düşey aksel yer değiştirme, DH , numunenin açısal sapması, Dq , iç hücre hacim değişimi, DV_i ve numune hacim değişimi, DV_s 'den hesaplanan numunenin iç ve dış yarıçaplarının değişimi, Δr_o ve Δr_i ve numunenin ilk boyutları, r_o ve r_i cinsinden hesaplanır. Böylece ortalama birim şekil değiştirme artımı, g_{zq}

$$\gamma_{zJ} = 2 \cdot \varepsilon_{zq} = \frac{2 \cdot \Delta\theta \cdot (r_o^3 - r_i^3)}{3h \cdot (r_o^2 - r_i^2)} \quad (7)$$

şeklinde elde edilir. Δr_o ve Δr_i yer değiştirmeleri, membran penetrasyon kalibrasyonları dikkate alınarak, iki bürlele ölçülen numune ve iç hücre hacim değişimlerinden elde edilir. Sonuç olarak burulmalı kayma deneyi süresince içi boş silindirik numunede ölçülebilen dokuz bileşen belirlenebilmektedir. Bunların dört tanesi gerilme bileşeni, dört tanesi şekil değiştirme bileşenleri ve sonuncusu oluşan boşluk suyu basıncı, u dur.

3.2. Deneyde Kullanılan Malzemenin Özellikleri

Bu çalışma kapsamında gerçekleştirilen bütün deneylerde Japonya standart kumu olan "Toyoura kumu" kullanılmıştır. Kuartz özellikli ve çoğunlukla yarı yuvarlak-yarı köşeli tane yapısına sahip Toyoura kumu üniform ince kum sınıfına girmektedir. Kumun fiziksel özellikleri Çizelge 1'de gösterilmektedir. Böylece deneysel çalışmalardan elde edilen sonuçları ile geçmişte bir çok araştırmacı tarafından bu kum üzerinde yapılan incelemelerin karşılaştırılması da mümkün olmuştur.

Çizelge 1. Toyoura kumunun fiziksel özellikleri

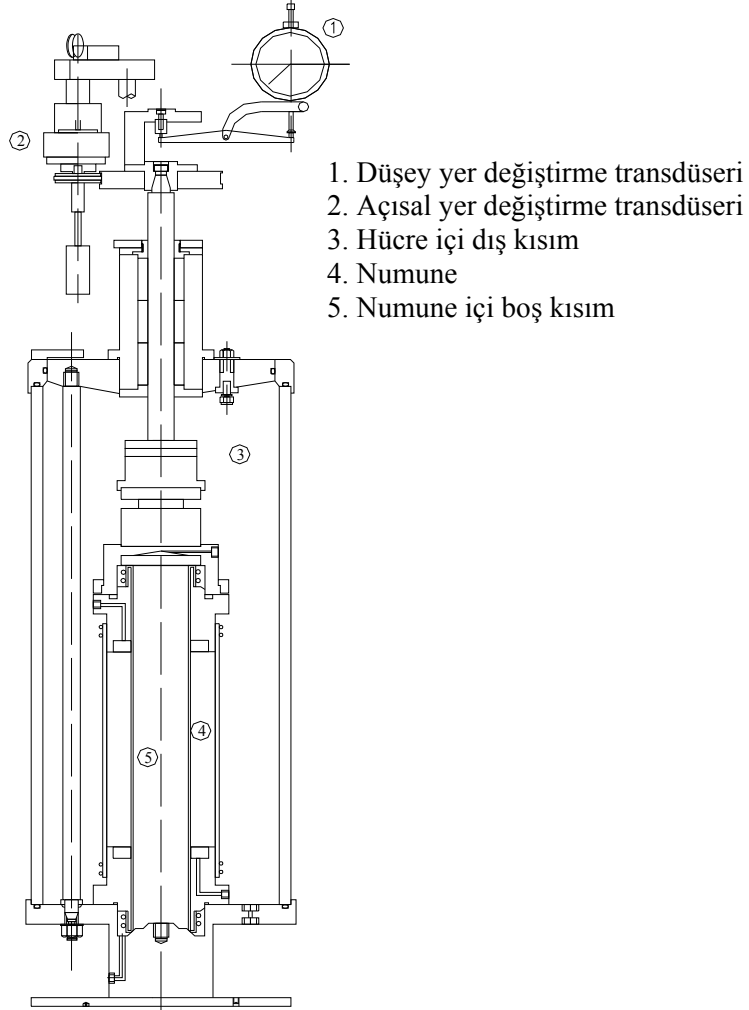
Mineraloji	Kuartz
Birleştirilmiş Zemin Sınıflandırma Sembolü	SP
Özgül Ağırlık, G_s	2.65
Maksimum Boşluk Oranı; e_{max}	0.977
Minimum Boşluk Oranı, e_{min}	0.605
Ortalama Tane Çapı, D_{50}	0.17 mm.
Efektif Çap, D_{10}	0.13 mm.
Üniformluk Katsayısı, U_c	1.43

3.3. Deney Aleti ve Deney Yöntemi

Bu çalışmada kullanılan içi boş silindirik dinamik burulmalı kesme deney aletinin genel görünüşü Şekil 3'te görülmektedir. Bu deney aleti ile içi boş numuneye drenajsız şartlarda, izotropik veya anizotropik üç eksenli gerilme koşullarında 0.1 Hz. frekansında tekrarlı burulma yüklemesi yapılarak zeminin dinamik gerilme ve şekil değiştirme ve mukavemet

özellikleri laboratuvar koşullarında belirlenmeye çalışılmıştır. Burulmalı kesme deneyleri gerilme veya deformasyon kontrollü olarak yapılabilmektedir.

Deneyde kullanılan numunelerin iç yarıçapı $r_i=3.0$ cm, dış yarıçapı $r_o=5.0$ cm ve yüksekliği $H\approx 20$ cm'dir. Numune içerden ve dışardan 0.3 mm kalınlığındaki boyutları numune boyutlarına uygun membranlarla çevrelenmektedir.



Şekil 3. Deney hücresi içerisine yerleştirilmiş numunenin görünüşü

3.3.1. Numune Hazırlama

Bu çalışma sürecinde yürütülen bütün deneylerde Japonya Geoteknik Birliği (JGS) tarafından yayınlanan standartlara (JGS 543-2000) uygun bir numune hazırlama metodu kullanılmıştır. Buna göre deneyler, kuru yağmurlama metoduyla $D_r \approx \%30, \%50, \%60$ ve $\%75$ rölatif sıkılık değerlerini elde edebilmek için sırasıyla 10–15, 15–20, 20–25 ve 25–30 cm. yükseklikten sekiz tabaka halinde dökülerek oluşturulan ve boşluk oranı $e_o=0.605-0.977$ olan gevşek ve orta sıkılıktaki numuneler ile gerçekleştirilmiştir. CO_2 geçirme tekniği kullanılarak ve 20 kN/m^2 değerinde ters basınç uygulanarak numunenin, *Skempton B değeri* 0.96 ve üstü olacak şekilde doyunlaşması sağlanmıştır.

3.3.2. Deney Yöntemi

İçi boş burulmalı kesme deney sistemi diğer dinamik deney aletlerine kıyasla çok yönlü ve daha kompleks bir yapıya sahiptir. Bu nedenle deney yöntemlerinde de bazı farklılıklar oluşmaktadır. Daha önce de bahsedildiği gibi burulmalı kesme deneyi ile değişik koşul ve gerilme durumlarında farklı amaçlara yönelik deneyler yapılabilmektedir. Bu çalışma kapsamında kum numuneler üzerinde drenajsız koşullarda izotropik ve anizotropik olarak konsolide edilmiş dinamik burulmalı kesme deneyleri yapılarak zeminin gerilme ve şekil değiştirme özellikleri belirlenmeye çalışılmıştır.

Zeminlerin dinamik özelliklerinin incelenmesinde burulmalı kesme deney aleti ile amaca bağlı olarak değişik yükleme koşullarında deneyler yapılabilmektedir. Deney aleti, araştırmacının incelenen konunun hedefi doğrultusunda, konsolide edilen zemin numunesine istenilen tür ve koşullarda yükleme yapabilmesine ve diğer birçok deneysel parametreyi değiştirebilmesine izin vermektedir. Kısaca yapılacak deneyin yöntemi ve yükleme özellikleri araştırma konusuna bağlı olarak değişiklik göstermektedir.

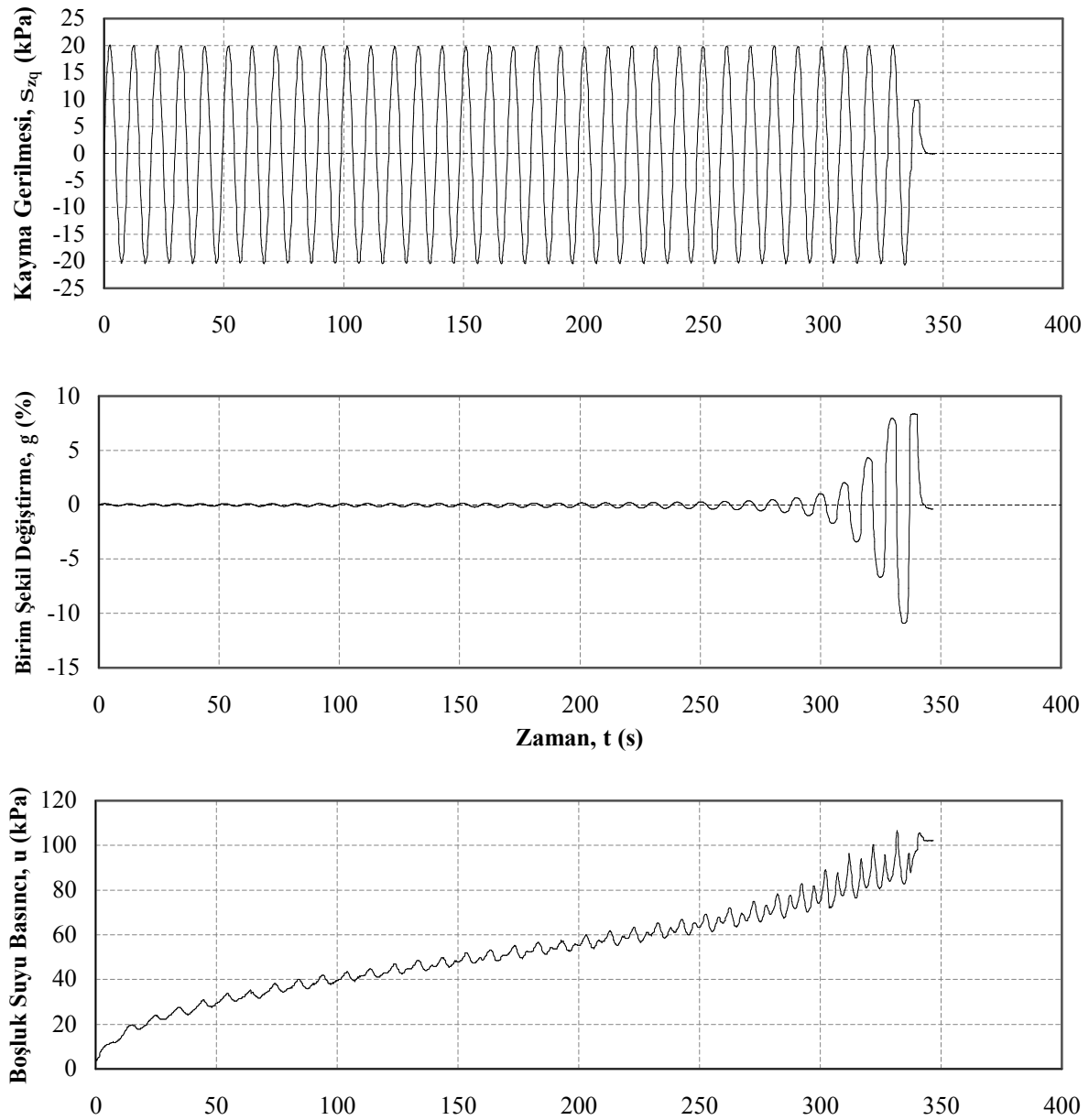
Bu çalışmada, belirlenen amaç doğrultusunda yürütülen deneyler, yine Japonya Geoteknik Birliği (JGS) tarafından yayınlanan deney standartlarına ve yöntemlerine (JGS 550-2000 ve JGS 551-1998) uygun olarak gerçekleştirilmiş ve sonrasında yorumlanıp değerlendirilmiştir. Bu çalışma kapsamında yapılan bütün deneyler gerilme kontrollü olarak drenajsız koşullarda gerçekleştirilmiştir. Yine deneylerin tamamı 0.1 Hz sabit frekansında sinüzoidal dinamik yükleme koşullarında yapılmıştır. Yapılan deneylerde dinamik burulma gerilmesi belirli bir değerde sabit tutularak (üniform yükleme) numuneler kesilmiştir.

4. KUMLARIN DİNAMİK MUKAVEMET ÖZELLİKLERİNİ ETKİLEYEN FAKTÖRLER

Zeminlerin tekrarlı gerilmeler altında küçük deformasyon seviyelerindeki gerilme-şekil değiştirme özelliklerinin yanı sıra daha büyük deformasyon seviyelerinde gösterdikleri mukavemet ve sıvılaşma özellikleri de zeminlerin genel dinamik davranışını tanımlamak ve ortaya koymakta büyük önem taşımaktadır. Özellikle suya doymuş kum zeminlerin sıvılaşma potansiyellerinin incelenmesi tekrarlı yükler altında oluşabilecek büyük şekil değiştirmelerin gelişme süreçlerinin tahmin edilmesinde büyük yarar sağlayacaktır.

Bu çalışma kapsamında elasto-plastik ve plastik deformasyon safhalarında suya doymuş kumların değişik koşullardaki dinamik davranış özelliklerinin ve bu özelliklere etki eden bazı faktörlerin hem deneysel hem de model olarak tahmin edilmesi için içi boş silindirik burulmalı deney aleti ile drenajsız koşullarda belirli bir sayıda dinamik deneyler yapılmıştır. Suya doymuş kumlar drenajsız şartlarda tekrarlı gerilmelere maruz kalırken artan boşluk suyu basıncı ve oluşan şekil değiştirme genlikleriyle beraber numunede meydana gelen mukavemet kaybı gerilme izleri de kullanılarak, bu çalışmada yürütülen farklı türdeki deneylerle belirlenmeye çalışılmıştır. Başlangıç koşullarındaki değişikliklerin bu zemin özelliklerini ne şekilde etkilediği de bu koşullarda yapılan değişikliklerle incelenmiştir.

Bu amaçla yapılan ilk kısım deneylerde değişik üniform tekrarlı burulmalı gerilme genliklerinde farklı rölatif sıklık değerlerine sahip ve izotropik koşullarda konsolide edilmiş zeminlerin mukavemet ve sıvılaşma özellikleri belirlenmeye çalışılmıştır. Şekil 4'te bu deneylerden birisine ait gerilme, şekil değiştirme ve ilave boşluk suyu basınçlarının zamanla değişimine ait deney kayıtları verilmiştir. Yine bu deneye ait histerisis ilmiklerinin oluşumu ve gerilme izleri de Şekil 5'te verilmiştir.

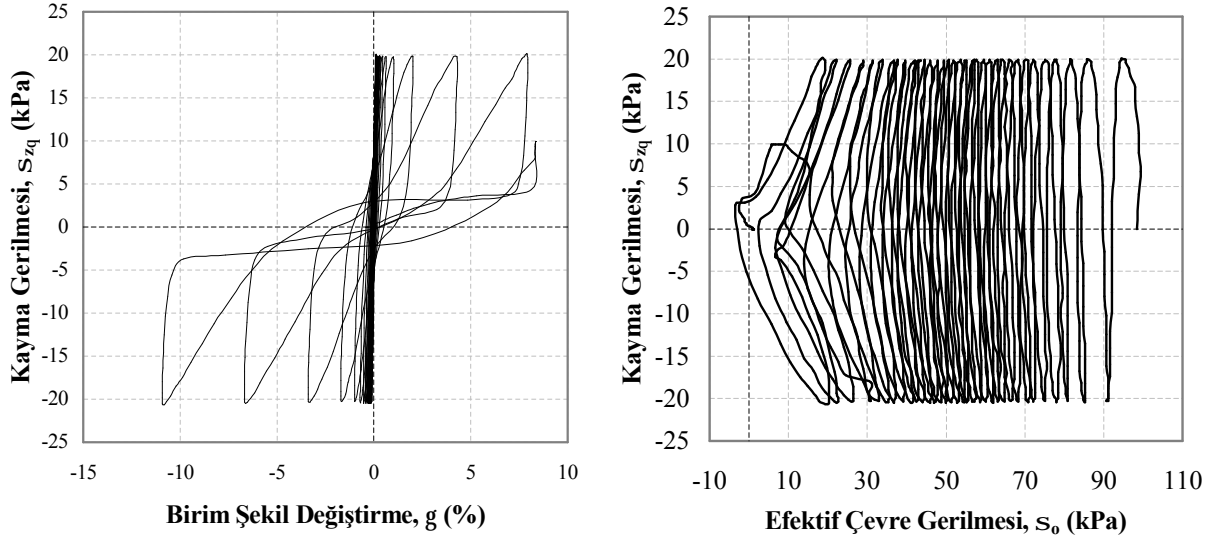


Şekil 4. Ünliform tekrarlı ykleme yapılan deneylerden birisine ait gerilme, boşluk suyu basıncı ve birim Őekil deęiŐirme genliklerinin zamanla deęiŐimi

Statik ykleme durumunda olduęu gibi, kohezyonsuz zeminlerin tekrarlı ykler altında davranıŐlarını belirleyen en temel etkenlerden birisi zeminin rlatif sıklıęıdır. Zaten kohezyonsuz zeminlerin yapısal davranıŐlarını rlatif sıklıęa baęlı olarak aıklamak aŐıŐlagelmiŐ bir uygulamadır.

Farklı rlatif sıklık deęerlerine sahip ve izotropik koŐullarda konsolide edilmiŐ suya doęun kumların drenajsız koŐullarda belli bir niform burulmalı gerilme deęerinde kesilmeye alıŐıldığında sıvılaŐmaya ulaŐması iin gereken evrim sayıları Őekil 6'da gsterilmektedir. Burada rlatif sıklıęın kum zeminlerin sıvılaŐabilirlikleri zerindeki etkisini grebilmek mmkndr. Buna gre rlatif sıklıktaki azalma ile kum zeminin sıvılaŐmaya ulaŐmasının daha az bir evrim sayısı gerektirdięi sylenbilir. Yapılan deneylerde zeminlerin sıvılaŐma zellięine ulaŐıp ulaŐmadıęı ya oluŐan birim Őekil deęiŐirme genlięinin ift ynl

% 10 değerine eriştiğine yada artan ilave boşluk suyu basıncının başlangıç çevre gerilmesinin % 95'ine eşit olduğuna bakılarak karar verilmiştir.



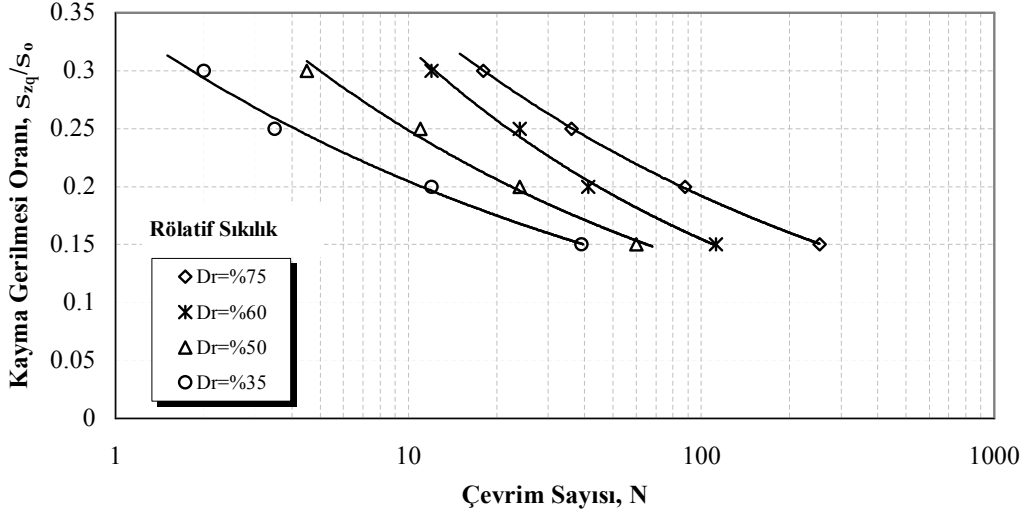
Şekil 5. Tekrarlı yüklemeler altında kum zeminde oluşan histerisis ilmikleri ve gerilme izleri

Sıvılaşmaya etki eden deneysel parametrelerden birisinin de farklı çevre basıncı değerleri olduğu düşünülmektedir. Zeminlerin doğada aynı çevre gerilmesi altında olmadığı düşünülürse bu farklılığın tekrarlı yükler altındaki mukavemet kaybı olayına ne şekilde etkideğinin incelenmesi gerektiği açıktır.

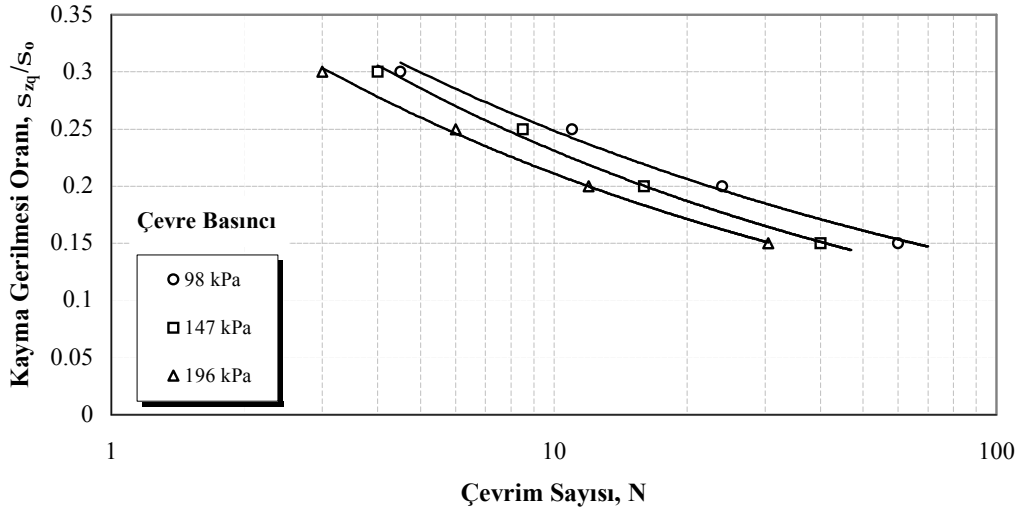
Aynı deney yöntemi uygulanarak izotropik koşullarda farklı çevre gerilmelerinde konsolide edilmiş kum numuneleri belirli bir genlikteki üniform burulmalı gerilme uygulanarak sıvılaşması için gereken çevrim sayıları belirlenmiştir. Bu deneylerden elde edilen sonuçlar ile çevre gerilmesinin kum zeminlerin kum zeminlerin sıvılaşma özelliklerine olan etkisini gösteren Şekil 7'deki değişim eğrileri elde edilebilir. Bu şekilden de görüldüğü gibi çevre basıncındaki artış kum zeminlerin aynı tekrarlı gerilme genliğinde daha küçük çevrim sayılarında veya aynı çevrim sayısında daha küçük kayma gerilmesi genliklerinde sıvılaşmasına yol açmaktadır. Yani artan çevre basınçları kumların sıvılaşma potansiyelini artırmaktadır.

Doğadaki zeminlerin büyük bir kısmının anizotropik gerilme koşulları altında olduğu düşünüldüğünde bu gerilme farklılığının tekrarlı yükler altındaki zeminlerin gerilme-şekil değiştirme ve mukavemet özellikleri üzerindeki etkisini dikkate almamak doğru bir yaklaşım olmayacaktır. Sıvılaşmaya tesir eden bir diğer önemli etkenin de yanal zemin basıncı olduğu bilinmektedir. Nitekim geçmişte farklı zemin türleri ile yapılan bir çok deneysel çalışmada anizotropik gerilme koşullarının statik ve dinamik yükler altındaki zeminlerin davranış özelliklerinin ne şekilde etkilediği araştırılmıştır.

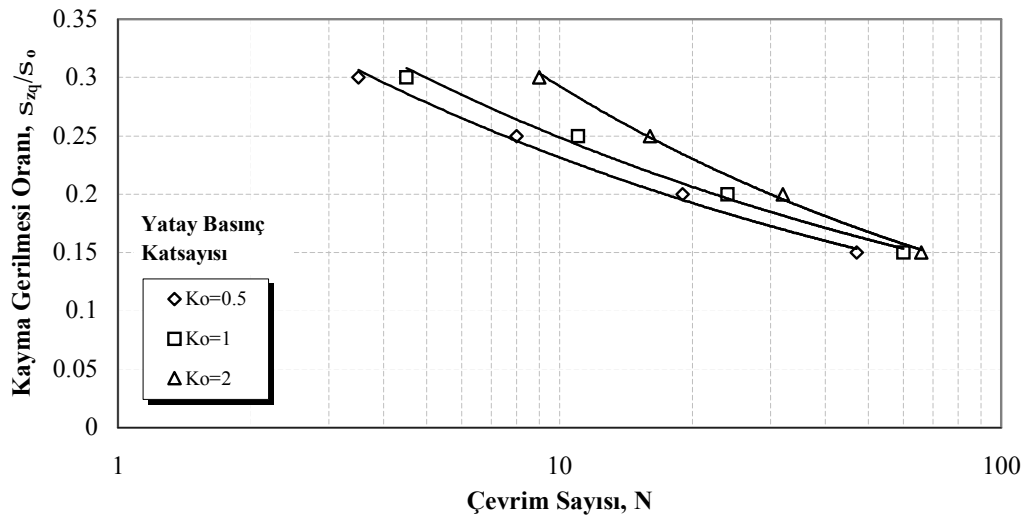
Bu çalışma kapsamında yürütülen ikinci kısım deneylerde yanal zemin basıncının tekrarlı yükler altındaki zeminlerin davranışlarına yaptığı tesirleri belirlemek amacıyla başlangıçta anizotropik koşullarda konsolide edilen kum numunelerin farklı üniform burulmalı gerilmeler altında mukavemet ve sıvılaşma özelliklerinin saptanmasına çalışılmıştır. Şekil 8'de ise farklı yanal zemin basıncı, K_0 değerlerinin kumların sıvılaşma özelliklerine etkisi gösterilmektedir.



Şekil 6. Tekrarlı yükler altındaki kum zeminlerde sıvılaşmaya neden olan çevrim sayısının zeminin rölatif sıklığına bağlı olarak değişimi



Şekil 7. Tekrarlı yükler altındaki kum zeminlerde sıvılaşmaya neden olan çevrim sayısının zemine uygulanan çevre basıncı ile değişimi



Şekil 8. Tekrarlı yükler altındaki kum zeminlerde sıvılaşmaya neden olan çevrim sayısının yatay zemin basıncı katsayısına bağlı olarak değişimi

5. SONUÇLAR

Bu çalışma kapsamında suya doymun kum zeminlerin drenajsız koşullardaki gerilme – şekil deęiřtirme ve mukavemet özelliklerini belirlemek amacıyla üniform ince kumdan oluşturulan içi boş silindirik numuneler üzerinde deęişik başlangıç ve deneysel koşullarda belirli bir sayıda dinamik burulmalı gerilme deneyleri gerçekleştirilmiştir. Zemin ve deney özelliklerinde yapılan deęişikliklerin bu davranış özelliklerini ne şekilde etkiledięi araştırılmaya çalışılmıştır. Buna göre yapılan deneysel çalışmaların sonucunda aşağıda maddeler halinde verilen sonuçlar elde edilmiştir.

1. İçi boş silindirik burulmalı gerilme deney aleti ile dięer laboratuvar dinamik deney aletlerine göre, sahip olduęu birçok avantajlara baęlı olarak, küçük ve büyük deformasyon seviyelerinde, belirli başlangıç ve sınır şartlarında ve birçok zemin türünde monotonik ve tekrarlı deneyler yapabilmek mümkündür. Bu deney sisteminde, oldukça üniform gerilme dağılımları ile zeminlerin gerilme – şekil deęiřtirme ve mukavemet özellikleri farklı koşullar altında belirlenebilmektedir.
2. Özellikle suya doymun kum zeminlerin tekrarlı yükler altında ve büyük deformasyon seviyelerinde ortaya koydukları dayanım özellikleri ve bunların yükleme sayısına baęlı olarak deęişimi, sıvılařma, çevrimsel oynaklık ve dięer benzeri olayların meydana gelmesinde belirleyici olmaktadır. Yeterli koşullar oluşturulduğunda tekrarlı yükler altındaki kumlar, içerisindeki boşluk suyu basıncının artışı ile beraber mukavemetini kaybederken, deęişik faktörlere baęlı olarak farklı davranış türleri ortaya koyabilmektedirler. Özellikle yükleme sayısının miktarı, çevre basıncının deęeri, zeminin başlangıçta sahip olduęu boşluk oranı ve anizotropik koşullar bu davranış türlerinin oluşmasında etken faktörler olmaktadır. Bu çalışma kapsamında, suya doymun kum zeminler ile gerçekleştirilen deneylerde yukarıda sıralanan faktörlerin kumların dinamik davranışları üzerinde yaptıęı etkiler, gerilme izleri de kullanılarak, grafiklerle beraber saptanmaya çalışılmıştır. Bu etken faktörlerin kum zeminlerin dinamik dayanımları üzerinde oldukça belirleyici etkileri olduęu tespit edilmiştir. Bu etkilerin belirlenmesi, zeminlerin tekrarlı yükler altındaki sıvılařma potansiyellerinin saptanmasında önemli olmaktadır. Yine saptanan bu etkiler geçmişte yapılan birçok benzeri çalışma ile uyumluluk göstermektedir.
3. Yapılan deneysel çalışmalarla Toyoura kumuna ait belirlenen bu özellik ve etkilerin, gelecekte benzeri konularda gerçekleştirilecek deneysel ve teorik model çalışmalarının geliştirilmesi konusunda yararlı olabileceęi düşünülmektedir.

KAYNAKLAR

- Alarkon-Guzman A., Leonards G.A., Chameau J.L. (1988): “Undrained Monotonic and Cyclic Strength of Sands”, ASCE Journal of Geotechnical Engineering, V.114, p. 1089-1109
- Ansal A., Erken A. (1985): “Killerin Tekrarlı Gerilmeler Altında Davranışı”, Deprem Arařtırma Bülteni, V.48, s. 5-81.
- Ashour M., Norris G. (1999): “Liquefaction and Undrained Response Evaluation of Sands from Drained Formulation”, ASCE Journal of Geotechnical and Geoenvironmental Engineering, V.125, p. 649-658.
- Castro G. (1975): “Liquefaction and Cyclic Mobility of Saturated Sands”, ASCE Journal of Geotechnical Engineering Division, V.101, p. 552-569.

- Erken A., Ansal A. (1994): "Liquefaction Characteristics of Undisturbed Sands", The XIII. Int. Conf. on Soil Mechanics and Foundation Engineering, New Delhi, India, V.1, p. 165-170
- Erten D., Maher M.H. (1995): "Cyclic Undrained Behavior of Silty Sand", Soil Dynamics and Earthquake Engineering, V.14, p. 115-123.
- Hight D.W., Gens A., Symes M.J. (1983): "The Development of a New hollow Cylinder Apparatus for Investigating The Effects of Principal Stress Rotation in Soils", Géotechnique, V.33, p. 355-383.
- Hyodo M., Hyde A.F.L., Aramaki N. (1998): "Liquefaction of Crushable Soils", Géotechnique, V.48, p. 527-543.
- Ishihara K., Towhata I. (1983): "Sand Response to Cyclic Rotation of Principal Stress Directions as Induced by Wave Loads", Soils and Foundations, V.23, p. 11-26.
- Ishihara K., Yasuda S. (1975): "Sand Liquefaction in Hollow Cylinder Torsion Under Irregular Excitation", Soils and Foundations, V.15, p. 45-59.
- Konrad J.M. (1990): "Minimum Undrained Strength of Two Sand", ASCE Journal of Geotechnical Engineering, V.116, p. 932-947.
- Meneses-Loja J., Ishihara K., Towhata I. (1998): "Effects of Superimposing Cyclic Shear Stress on the Undrained Behavior of Saturated Sand Under Monotonic Loading", Soils and Foundations, V.38, p. 115-127.
- Mohamad R., Dobry R. (1986): "Undrained Monotonic and Cyclic Triaxial Strength of Sand", ASCE Journal of Geotechnical Engineering, V.112, p. 941-958.
- Seed H.B. (1979): "Soil Liquefaction and Cyclic Mobility Evaluation for Level Ground During Earthquakes", ASCE Journal of Geotechnical Engineering Division, V.105, p. 201-255.
- Sivathayalan S., Vaid Y.P. (1998): "Truly Undrained Response of Granular Soils with No membran-penetration Effects", Canadian Geotechnical J., V.35, p. 730-739.
- Talaganov K.V. (1996): "Stress-Strain Transformations and Liquefaction of Sands", Soil Dynamics and Earthquake Engineering, V.15, p. 411-418.
- Tatsuoka F., Pradhan T.B.S., Yoshi-Ie H. (1989): "A Cyclic Undrained Simple Shear Testing Method for Soils", ASTM Geotechnical Testing Journal, V.12, p. 269-280.
- Vaid Y.P., Chern J.G. (1985): "Undrained Cyclic Behaviour of Saturated Sand", Proc. of ASCE Annual Convention, Session on the Art of Testing Soils Under Cyclic Conditions, p. 74-91
- Verdugo R., Ishihara K. (1996): "The Steady State of Sandy Soils, Soils and Foundations", V.36, p. 81-92.
- Yoshimine M., Özay R., Sezen A., Ansal A. (1999): "Undrained Plane Strain Shear Tests on Saturated Sand Using a Hollow Cylinder Torsional Shear Apparatus", Soils and Foundations, V.39, p. 131-136.